

LEGENDA

▭ Sorgenti emmissive

PM₁₀ - media annua
 Intervalli di isoconcentrazione ($\mu\text{g}/\text{m}^3$)

- 0,000 - 0,499
- 0,500 - 0,999
- 1,000 - 1,499
- 1,500 - 1,999
- > 2,000

Limite PM₁₀ per salute umana: 40($\mu\text{g}/\text{m}^3$)

Sorgenti puntuali

- Ricettore per la protezione della salute umana

Ricettore	Coordinata X (Est)	Coordinata Y (Nord)	PM10 media annua ($\mu\text{g}/\text{m}^3$)
R1	760174,34	5044301,58	0,015
R2	760160,68	5044383,16	0,012
R3	760232,84	5044447,27	0,014
R4	760163,47	5044545,54	0,010
R5	760170,53	5044651,45	0,009
R6	760463,29	5044651,38	0,020
R7	760708,88	5045245,27	0,062
R8	760780,72	5045403,74	0,041
R9	761203,49	5045506,48	0,063
R10	761426,43	5045551,81	0,014
R11	761527,23	5045586,03	0,009

PM_{2,5} - media annua
 Intervalli di isoconcentrazione ($\mu\text{g}/\text{m}^3$)

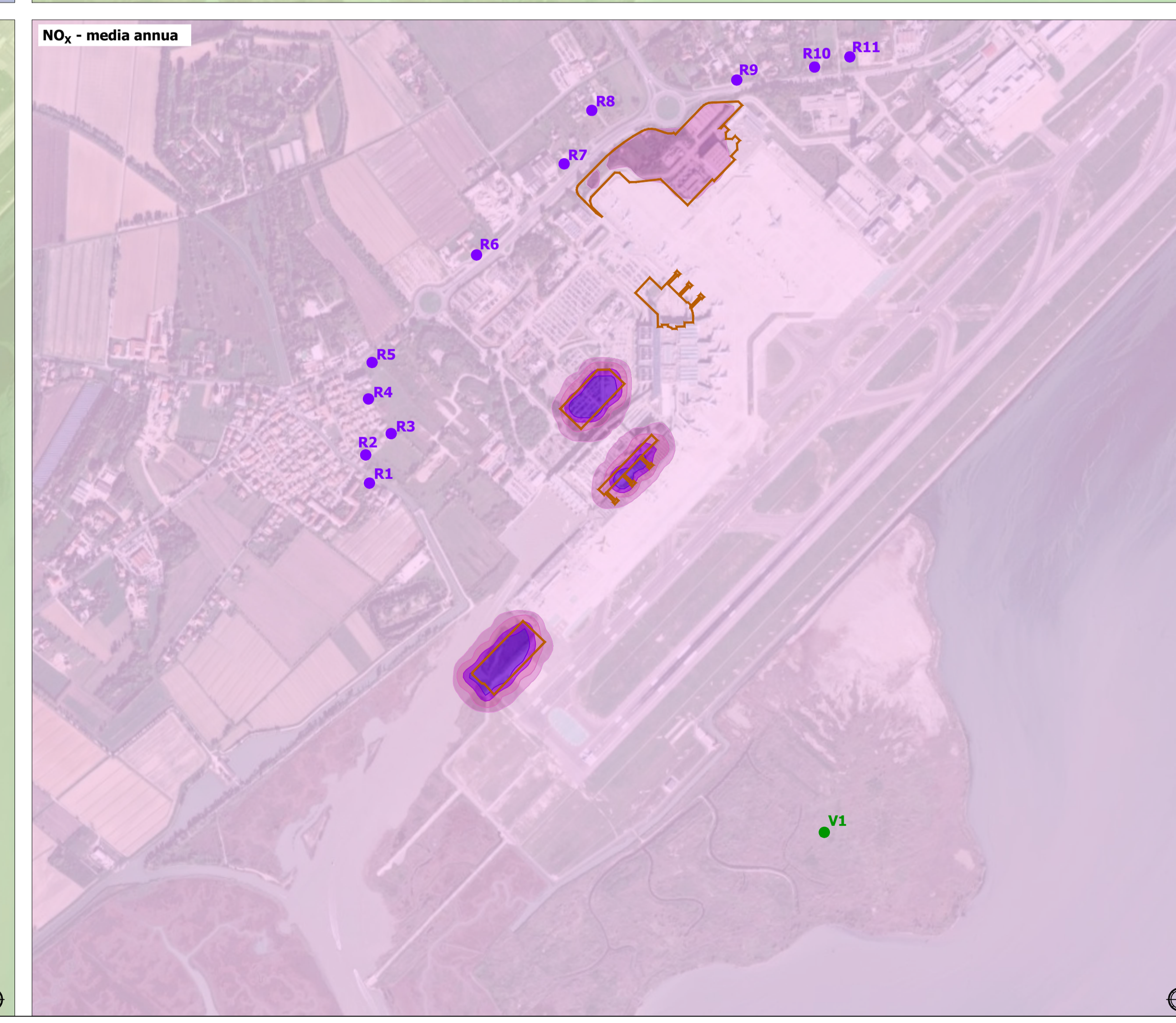
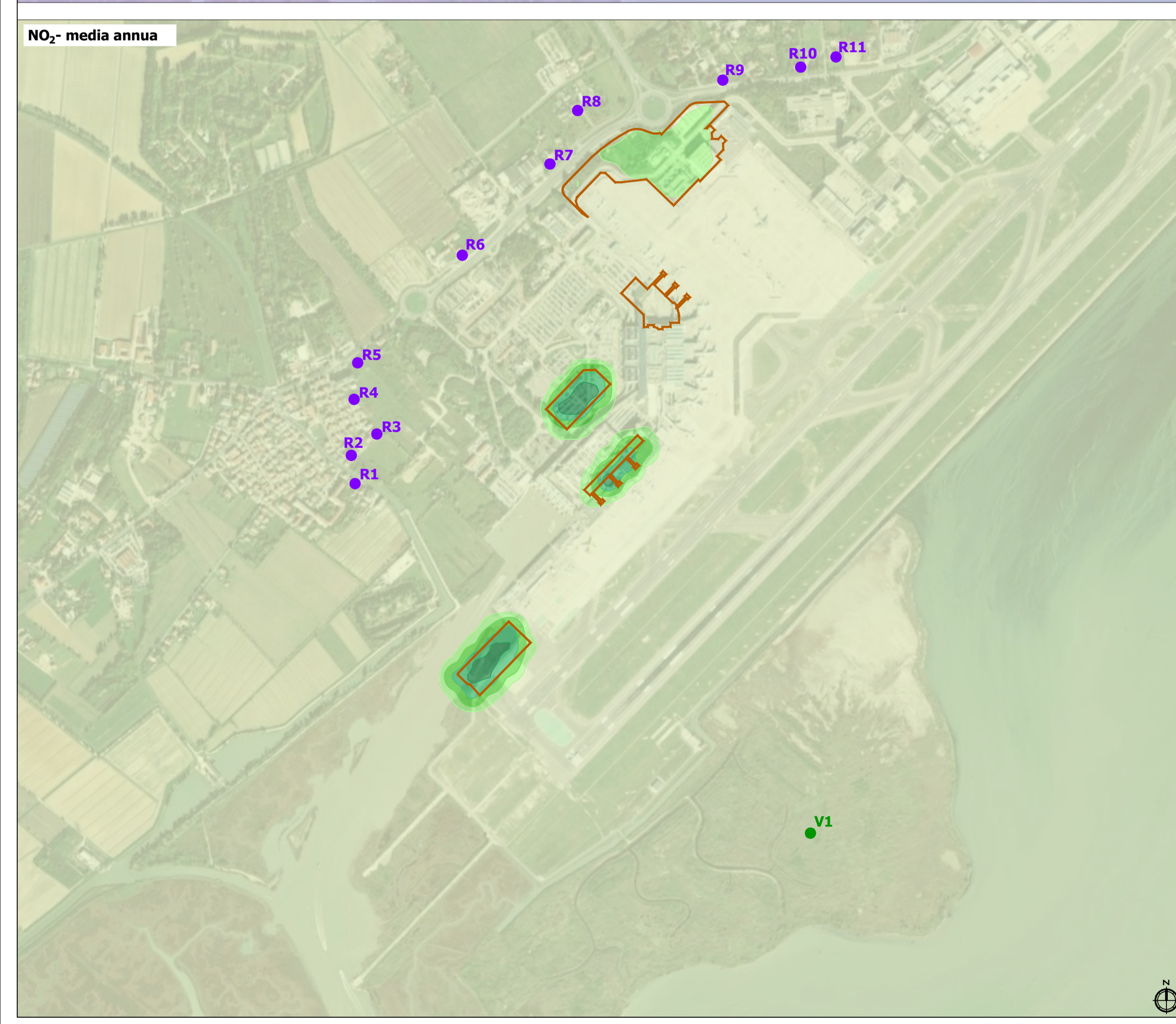
- 0,000 - 0,499
- 0,500 - 0,999
- 1,000 - 1,499
- 1,500 - 1,999
- > 2,000

Limite PM_{2,5} per salute umana: 25 ($\mu\text{g}/\text{m}^3$)

Sorgenti puntuali

- Ricettore per la protezione della salute umana

Ricettore	Coordinata X (Est)	Coordinata Y (Nord)	PM2.5 media annua ($\mu\text{g}/\text{m}^3$)
R1	760174,34	5044301,58	0,009
R2	760160,68	5044383,16	0,008
R3	760232,84	5044447,27	0,009
R4	760163,47	5044545,54	0,006
R5	760170,53	5044651,45	0,006
R6	760463,29	5044651,38	0,012
R7	760708,88	5045245,27	0,037
R8	760780,72	5045403,74	0,025
R9	761203,49	5045506,48	0,038
R10	761426,43	5045551,81	0,008
R11	761527,23	5045586,03	0,006



NO₂ - media annua
 Intervalli di isoconcentrazione ($\mu\text{g}/\text{m}^3$)

- 0,000 - 2,499
- 2,500 - 4,999
- 5,000 - 9,999
- 10,000 - 14,999
- > 15,000

Limite NO₂ per salute umana: 40 ($\mu\text{g}/\text{m}^3$)

$$NO_2 = \begin{cases} -0,0031NO_x^2 + 0,8525NO_x & NO_x < 137,5 \frac{\mu\text{g}}{\text{m}^3} \\ 0,1NO_x + 44,85 & NO_x > 137,5 \frac{\mu\text{g}}{\text{m}^3} \end{cases}$$

Sorgenti puntuali

- Ricettore per la protezione della salute umana

Ricettore	Coordinata X (Est)	Coordinata Y (Nord)	NO2 media annua ($\mu\text{g}/\text{m}^3$)
R1	760174,34	5044301,58	0,07
R2	760160,68	5044383,16	0,06
R3	760232,84	5044447,27	0,07
R4	760163,47	5044545,54	0,05
R5	760170,53	5044651,45	0,05
R6	760463,29	5044651,38	0,09
R7	760708,88	5045245,27	0,25
R8	760780,72	5045403,74	0,17
R9	761203,49	5045506,48	0,23
R10	761426,43	5045551,81	0,05
R11	761527,23	5045586,03	0,04

NO_x - media annua
 Intervalli di isoconcentrazione ($\mu\text{g}/\text{m}^3$)

- 0,000 - 2,499
- 2,500 - 4,999
- 5,000 - 9,999
- 10,000 - 14,999
- > 15,000

Limite NO_x per vegetazione: 30 ($\mu\text{g}/\text{m}^3$)

Sorgenti puntuali

- Ricettore per vegetazione

Ricettore	Coordinata X (Est)	Coordinata Y (Nord)	NOx media annua ($\mu\text{g}/\text{m}^3$)
V1	761525,52	5043331,41	0,05

Rosa dei venti

NUMERO ELABORATO: SIA-AC-CT-33-A

MINISTERO DELLE INFRASTRUTTURE E TRASPORTI
 ENTE NAZIONALE AVIAZIONE CIVILE

AEROPORTO "MARCO POLO" DI TESSERA - VENEZIA
 Concessionaria del MINISTERO DELLE INFRASTRUTTURE E TRASPORTI

COMMESSA

MASTERPLAN 2023 - 2037
 DELL'AEROPORTO "MARCO POLO" DI TESSERA - VENEZIA

STUDIO DI IMPATTO AMBIENTALE

ELABORATO

CARTA DELLE ISOCONCENTRAZIONI -
 CORSO D'OPERA - SCENARIO 2029
 PM₁₀, PM_{2,5}, NO_x E NO₂

COD. MIA MACRO INT. In fase di assegnazione
 CODICE MIA: In fase di assegnazione
 COD. C.d.P.: 8|3|4

CODICE ELABORATO
 SIA-AC-CT-33

REV.	DATA	DESCRIZIONE	REDAZIONE	VERIFICA	APPROV.	P.M. SAVE	NOME FILE: SIA-AC-CT-33-A.dwg
A	Giugno 2024	Prima emissione	Arch. E. Cosenza	Ing. A. Serelli	Ing. M. Di Piate	Ing. S. Sclerotto	FILE DI STAMPA:
							SCALA 1:5.000

GRUPPO DI LAVORO

IRIDE
 Istituto per la Ricerca e l'Impiego dell'Economia

manens

SAVE S.p.A.
 DIREZIONE OPERATIVA
 A.M.R.U.P.R.L.
 Ing. Corrado Fischer

Manens S.p.A.
 DIRETTORE TECNICO
 Ing. Riccardo Curci

RESPONSABILE AMBIENTE
 Ing. Alessandra Lisiero

SAVE S.p.A.
 RESPONSABILE
 INTEGRAZIONE PRESTAZIONI SPECIALISTICHE
 Ing. Davide Bassano

ALLEGATO VERBALE
 PP01-CDP6.3.4-REV0